

# Исследование структуры и свойств

## Физические методы исследования и контроля

УДК 621.774.21,621.78.019.3

### ОПРЕДЕЛЕНИЕ ОПТИМАЛЬНЫХ ТЕМПЕРАТУР НАГРЕВА ПРИ ЛОКАЛЬНОЙ НОРМАЛИЗАЦИИ СВАРНОГО ШВА ТРУБ ИЗ НИЗКОЛЕГИРОВАННЫХ МАРОК СТАЛЕЙ

© М. А. Ткачук, О. А. Багмет, П. П. Степанов<sup>1</sup>

*Статья поступила 29 мая 2015 г.*

Смоделированы процессы, происходящие при нагреве и охлаждении металла в зоне сварного соединения при локальной термической обработке (ЛТО) по режиму нормализации. Для скоростей нагрева, применяемых в цеховых условиях, определены критические точки для сталей различного химического состава. Предложены новые режимы ЛТО труб для разных марок стали, способствующие повышению ударной вязкости сварного соединения за счет формирования в нем мелкого аустенитного зерна после нагрева и, соответственно, однородной мелкозернистой феррито-перлитной структуры после охлаждения. Полученные результаты опробованы и внедрены при производстве электросварных труб диаметром 114 – 530 мм классов прочности К50 – К60.

**Ключевые слова:** электросварные трубы; сварка токами высокой частоты; локальная термическая обработка; сварной шов; околосшовная зона; микроструктура.

На сегодняшний день существует значительная потребность в качественных трубах для магистральных газопроводов и промысловых трубопроводов при устройстве газовых месторождений для транспортировки некоррозионно-активных продуктов, рассчитанных на рабочее давление до 9,8 МПа (100 кгс/см<sup>2</sup>) и температуру эксплуатации до –40 °C. В связи с этим

налажено производство труб диаметром 114 – 530 мм классов прочности К50 – К60 из малоуглеродистых низколегированных сталей, сваренных токами высокой частоты (ТВЧ). ТВЧ-сварка характеризуется большой производительностью, высокой степенью локализации энергии и возможностью в широких пределах изменять параметры технологии. Кроме того, ее энергоемкость существенно ниже, чем у большинства дру-

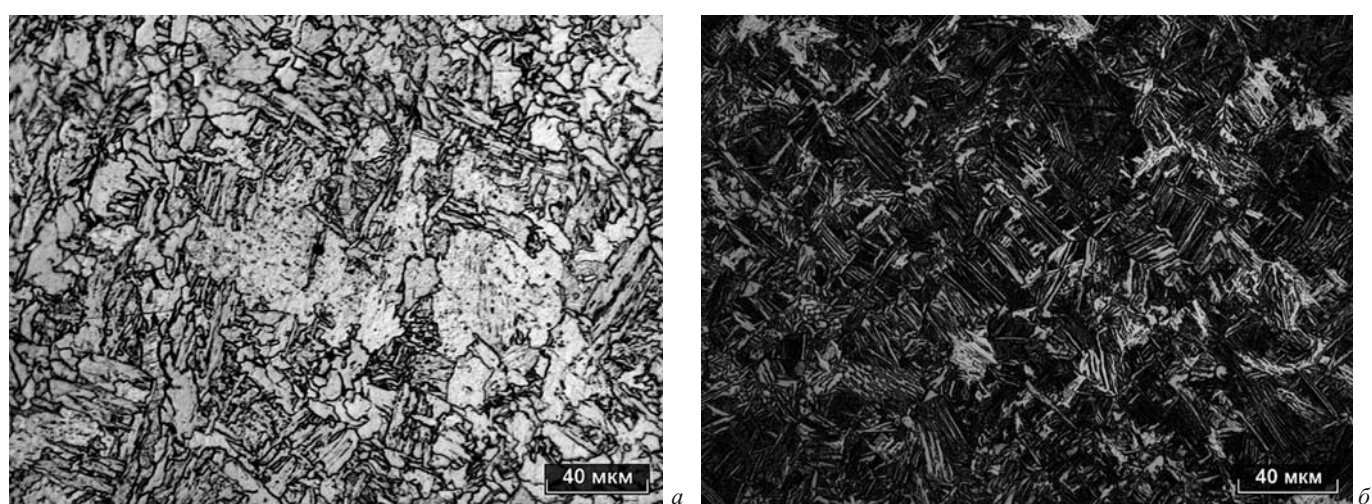
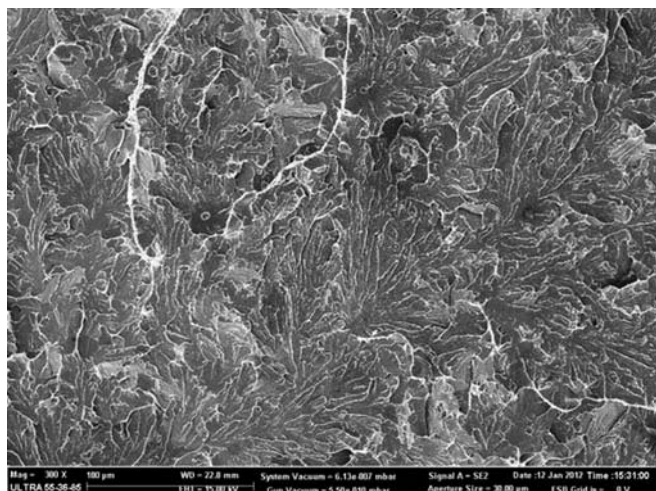


Рис. 1. Микроструктура ОШЗ сварного соединения труб из сталей с содержанием углерода 0,06 (а) и 0,17 (б) %

<sup>1</sup> АО «ВМЗ», г. Выкса, Россия; e-mail: tkachuk\_ma@vsw.ru



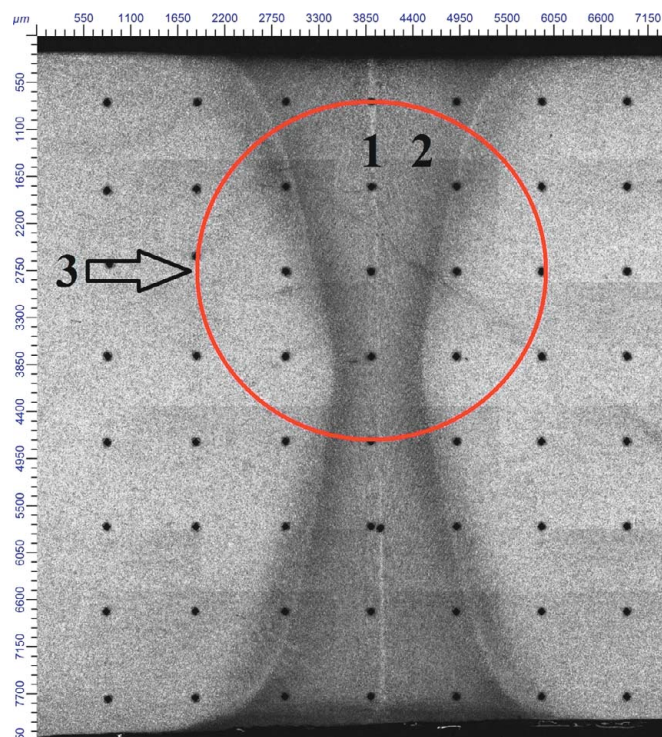
**Рис. 2.** Поверхность разрушения образца (температура испытания —  $-60^{\circ}\text{C}$ , содержание углерода в стали — 0,06 %)

тих способов сварки, и отсутствуют принципиальные ограничения по скорости [1, 2].

Как известно, в окколошовной зоне (ОШЗ) сварного соединения после сварки ТВЧ формируется структура, состоящая, в зависимости от химического состава стали, из видманштеттова и игольчатого феррита, бейнита и даже мартенсита, и негативно влияющая на показатели ударной вязкости и пластичности (рис. 1) [3].

Грубоигольчатая структура ТВЧ-соединения обладает низкой энергоемкостью разрушения, поэтому после динамических испытаний на ударный изгиб образцов с круглым и острым надрезами при отрицательных температурах разрушение происходит по механизму транскристаллитного скола с формированием полностью хрупкого излома. На поверхности таких изломов наблюдаются крупные фасетки скола (рис. 2).

Один из способов повышения пластичности и ударной вязкости металла сварного шва и ОШЗ — локальная термическая обработка (ЛТО), позволяющая изменить неблагоприятную структуру, полученную в результате высокочастотной сварки. Благодаря ЛТО



**Рис. 3.** Схема вырезки дилатометрического образца (поперечное сечение) из сварного соединения трубы, сваренной ТВЧ: 1 — линия сплавления; 2 — зона термического влияния; 3 — дилатометрический образец

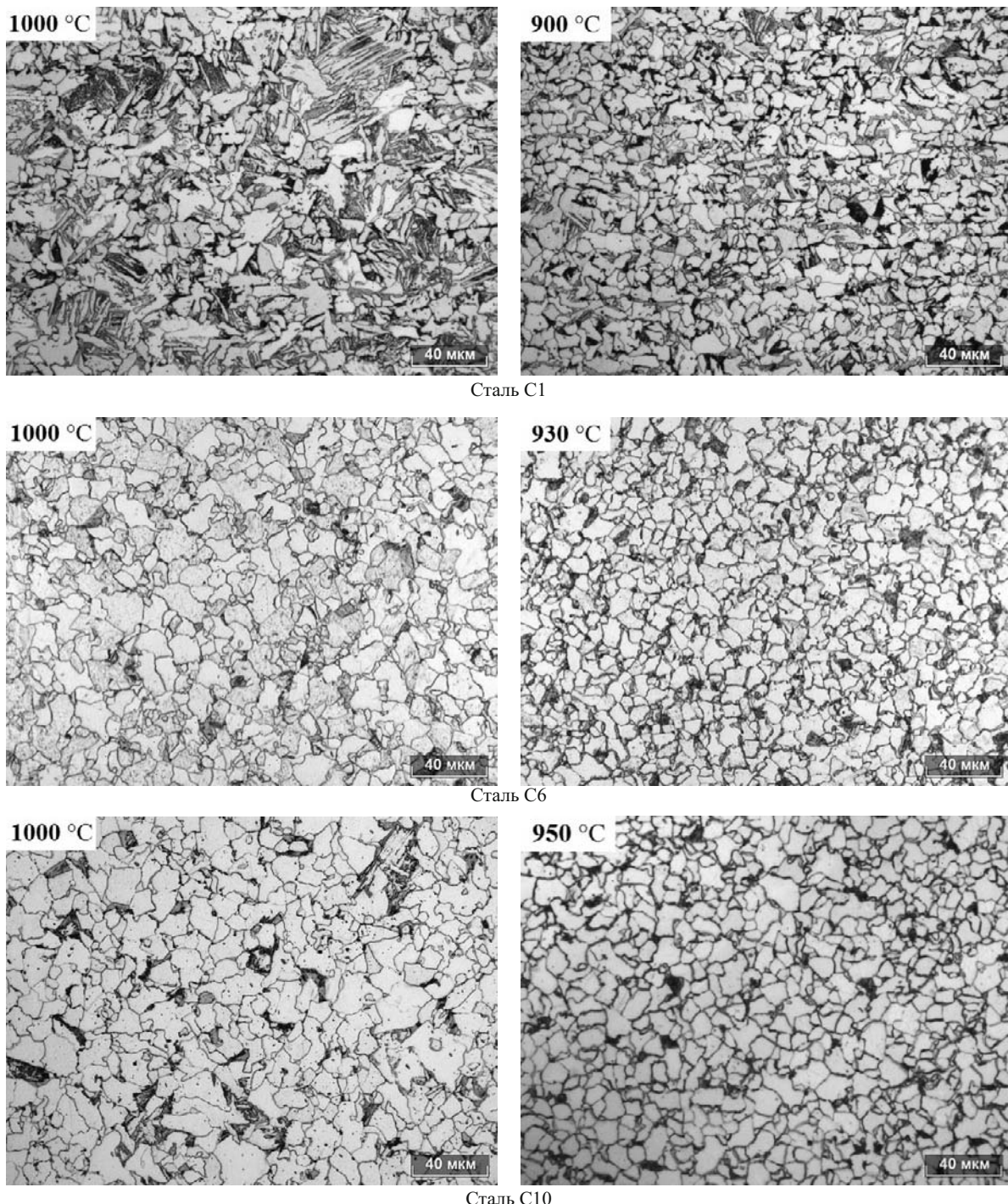
можно снизить порог хладноломкости и достичь равнопрочности сварного соединения и основного металла трубы [3].

ЛТО сварного шва по режиму нормализации осуществляют непрерывно-последовательным способом при помощи четырех-пяти индукторов. При этом зона сварного соединения нагревается до температуры аустенитизации, затем она охлаждается на воздухе.

Основная сложность при назначении режимов ЛТО — отсутствие справочных данных по критическим точкам для сталей различного химического состава и скоростей нагрева, применяемых в цеховых условиях. Известно, что с увеличением скорости на-

Критические точки и оптимальные температуры нагрева при ЛТО нормализации сварного соединения труб, изготовленных из сталей различного химического состава

Условное обозначение стали	Массовые доли химических элементов, %						Критические точки, $^{\circ}\text{C}$		Оптимальная температура ЛТО, $^{\circ}\text{C}$
	C	Mn	Si	S	P	Другие	$Ac_1$ ( $\sim 210^{\circ}\text{C}/\text{с}$ )	$Ac_3$ ( $\sim 70^{\circ}\text{C}/\text{с}$ )	
C <sub>1</sub>	0,17	1,26	0,48	0,002	0,010	—	785	875	900
C <sub>2</sub>	0,05	1,23	0,48	0,002	0,008	Nb	795	915	940
C <sub>3</sub>	0,06	0,58	0,35	0,001	0,010	V, Nb	800	925	950
C <sub>4</sub>	0,05	1,60	0,22	0,003	0,006	V, Nb	770	880	900
C <sub>5</sub>	0,06	0,68	0,22	0,001	0,006	Nb, Ti	795	915	940
C <sub>6</sub>	0,05	0,71	0,22	0,001	0,005	Cr, Nb	785	910	930
C <sub>7</sub>	0,07	1,49	0,36	0,001	0,008	N, V	800	895	920
C <sub>8</sub>	0,07	0,75	0,47	0,001	0,007	Cr, Mo, V	780	910	930
C <sub>9</sub>	0,07	0,72	0,47	0,001	0,006	Cr, Mo, V, B	780	910	930
C <sub>10</sub>	0,06	0,58	0,23	0,001	0,006	Cr, V, Nb, Ti	795	925	950

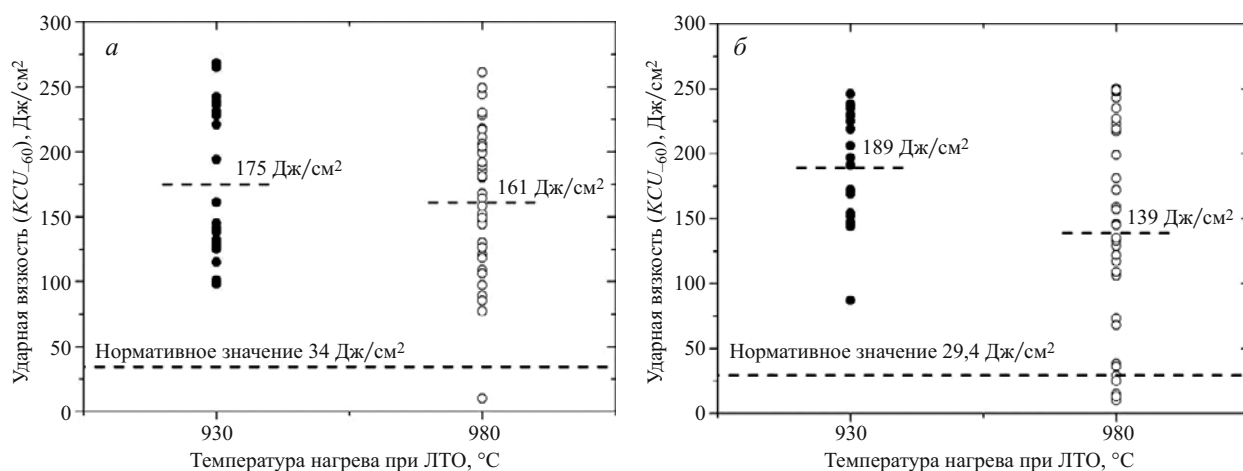


**Рис. 4.** Микроструктура ОШЗ вблизи линии сплавления сварного соединения трубы после имитации различных температур нагрева ЛТО нормализации для различных марок стали

грева происходит существенное повышение температур начала ( $Ac_1$ ) и завершения ( $Ac_3$ ) фазового превращения в austenit, а также заметное расширение температурного интервала  $Ac_1 - Ac_3$ . Кроме того, исходная структура наряду с химическим составом стали оказывает сильное влияние на изменение критических точек [4]. Для определения оптимальных температур нагрева при ЛТО по различным режимам, а также исследования процессов структурообразования в ОШЗ сварного соединения при нагреве и охлаждении

разработана методика изучения фазовых превращений дилатометрическим методом [5].

Протяженность зоны термического влияния сварного соединения труб с толщиной стенки 7,0–10,0 мм, сваренных ТВЧ, составляет порядка 3,5–4,5 мм. Для моделирования режимов нагрева и охлаждения ЛТО на автоматическом дилатометре DIL 805 использовали цельные цилиндрические образцы  $\varnothing 4 \times 10$  мм, вырезанные из сварного шва трубы после высокочастотной сварки таким образом, чтобы линия



**Рис. 5.** Влияние температуры аустенитизации при ЛТО нормализации на ударную вязкость сварного соединения труб Ø325 × 8,0 мм из стали класса прочности K52

сплавления сварного соединения находилась посередине образца и была параллельна его оси (рис. 3).

При помощи дилатометра на образцах воспроизводили режимы ступенчатого нагрева и последующего охлаждения со скоростями, применяемыми на производстве, и определяли критические точки  $Ac_1$ ,  $Ac_3$ . Скорость нагрева для  $Ac_1$  соответствовала  $\sim 210$  °C/c, для  $Ac_3$  —  $\sim 70$  °C/c. Далее исследовали зеренную структуру аустенита, формирующуюся при температурах нагрева выше  $Ac_3$ , и конечную микроструктуру ОШЗ после охлаждения. Оптимальную температуру ЛТО выбирали по образованию мелкозернистой феррито-перлитной структуры с отсутствием дефектных участков видманштеттова феррита в ОШЗ при охлаждении соединения [5]. Проведенные металлографические исследования сварных соединений труб, изготовленных из различных марок стали, после имитации режимов ЛТО показали, что оптимальному режиму локальной нормализации соответствует нагрев до 20–25 °C (рис. 4).

На основании экспериментальных данных, полученных при проведении дилатометрических исследований, в таблице приведены критические точки  $Ac_1$  и  $Ac_3$  и оптимальные температуры нагрева при ЛТО нормализации сварного соединения труб классов прочности K50–K60, изготовленных из сталей различного химического состава.

Для опробования предложенных режимов ЛТО и оценки влияния температуры аустенитизации на комплекс механических свойств сварное соединение труб Ø325 × 8,0 мм класса прочности K52 из стали С6 обрабатывали по двум режимам ЛТО: нормализация при 980 и 930 °C (химический состав стали указан в таблице).

Анализ результатов испытаний образцов Шарпи (KCV) при температуре –20 °C (рис. 5, а) и Менаже (KCU) при температуре –60 °C (рис. 5, б) показал положительное влияние снижения температуры аустенитизации (с 980 до 930 °C) на ударную вязкость. Сред-

ние значения ударной вязкости при уменьшении температуры ЛТО выросли на 14 и 50 Дж/см<sup>2</sup> при испытании образцов KCV и KCV соответственно. Для образцов KCV при температуре –20 °C получены неудовлетворительные результаты испытаний сварного соединения для труб, прошедших ЛТО при температуре 980 °C (шесть образцов, или 17 % от общего количества). При этом на образцах соединения труб, прошедших ЛТО при температуре 930 °C, результаты соответствовали техническим требованиям (рис. 5, б).

Таким образом, исследования ряда малоуглеродистых низколегированных сталей позволили определить критические точки для скоростей нагрева, применяемых в цеховых условиях, и выбрать оптимальные режимы ЛТО (нормализации) сварного соединения труб, обеспечивающие повышение стабильности показателей по ударной вязкости и сопротивлению хрупкому разрушению при отрицательных температурах. Полученные результаты апробированы и используются при производстве электросварных труб диаметром 114–530 мм классов прочности K50–K60.

## ЛИТЕРАТУРА

- Шамов А. Н., Лунин И. В., Иванов В. Н. Высокочастотная сварка металлов. — Л.: Машиностроение, 1977. С. 126–148.
- Матвеев Ю. М., Ружинский М. Б., Ромашов А. А., Халамез Е. М. Технология производства электросварных труб. — М.: Металлургия, 1967. С. 84–96.
- Головин Г. Ф., Зимин Н. В. Технология термической обработки металлов с применением индукционного нагрева. — Л.: Машиностроение, 1990. — 87 с.
- Шоршоров М. Х. Металловедение сварки стали и сплавов титана. — М.: Наука, 1965. С. 80–91.
- Ткачук М. А., Багмет О. А. Методика определения оптимальной температуры нагрева при проведении локальной термической обработки сварного шва труб, сваренных токами высокой частоты / Заводская лаборатория. Диагностика материалов. 2015. Т. 81. № 5. С. 39–43.

## REFERENCES

- Shamov A. N., Lunin I. V., Ivanov V. N. Vysokochastotnaya svarka metallov [High-frequency welding of metals]. — Leningrad: Mashinostroenie, 1977. P. 126–148 [in Russian].